



TITLE:

鼠径部に発生したSpindle cell lipoma の1例

AUTHOR(S):

武田, 知樹; 安藤, 亮介; 海野, 怜; 飯田, 啓太郎; 岩月, 正一郎; 梅本, 幸裕; 河合, 憲康; 戸澤, 啓一; 安井, 孝周

CITATION:

武田, 知樹 ...[et al]. 鼠径部に発生したSpindle cell lipoma の1例. 泌尿器科紀要 2016, 62(4): 205-208

ISSUE DATE:

2016-04-30

URL:

<http://hdl.handle.net/2433/212516>

RIGHT:

許諾条件により本文は2017/05/01に公開

鼠径部に発生した Spindle cell lipoma の 1 例

武田 知樹, 安藤 亮介, 海野 怜
飯田啓太郎, 岩月正一郎, 梅本 幸裕
河合 憲康, 戸澤 啓一, 安井 孝周
名古屋市立大学大学院医学研究科腎・泌尿器科学分野

A CASE OF SPINDLE CELL LIPOMA IN THE INGUINAL REGION

Tomoki TAKEDA, Ryosuke ANDO, Rei UNNO,
Keitaro IIDA, Shoichiro IWATSUKI, Yukihiro UMEMOTO,
Noriyasu KAWAI, Keiichi TOZAWA and Takahiro YASUI
The Department of Nephro-urology, Nagoya City University Graduate School of Medical Sciences

A 68-year-old man presented to our hospital for the first time because of a left inguinal mass that had been gradually enlarging over the past 20 years. At the initial visit, a 10×5 cm, soft, movable mass was detected in the left inguinal region. Magnetic resonance imaging revealed a smoothly shaped, internally heterogeneous tumor, with suppressed areas on a fat-suppressed image. In addition, the tumor showed partial enhancement with gadolinium and it did not continue into the spermatic cord. We performed excision of mass. During surgery, we observed that the tumor was well circumscribed and located on an aponeurosis of the external abdominal oblique muscle; therefore, we inferred it occurred from the subcutaneous tissue. The excised tumor was smoothly shaped and contained yellow and white nodes. On histopathological examination, the tumor was identified as a spindle cell lipoma.

(Hinyokika Kiyō 62 : 205-208, 2016)

Key words : Spindle cell lipoma, Inguinal region

緒 言

Spindle cell lipoma は成熟脂肪細胞に紡錘形細胞の増殖を伴い、膠原線維、粘液成分が混在することを病理学的特徴とする。また、様々な画像所見を呈する¹⁾。

Spindle cell lipoma は肩や後頸部に好発し²⁾、鼠径部の発生例は稀であるため、文献的考察を交えて報告する。

症 例

患 者 : 68歳, 男性

主 訴 : 左鼠径部腫瘍

既往歴 : 特記すべきことなし

家族歴 : 特記すべきことなし

現病歴 : 20年前より徐々に増大する左鼠径部腫瘍を自覚し、当科初診となった。

初診時現症 : 左鼠径部腫瘍は表在性、10×5 cm 大で軟、圧痛はなく、可動性を認めた。バルサルバ法で腫瘍の増大はなく、表在リンパ節を触知しなかった。

血液検査 : 特記すべきことなし

超音波検査 : 左鼠径部腫瘍は境界明瞭、内部不均一であり、高輝度領域を認めた (Fig. 1)。

CT 検査 : 左鼠径部に境界明瞭な充実性腫瘍を認めた。脂肪と等吸収の成分を含み、一部は造影された

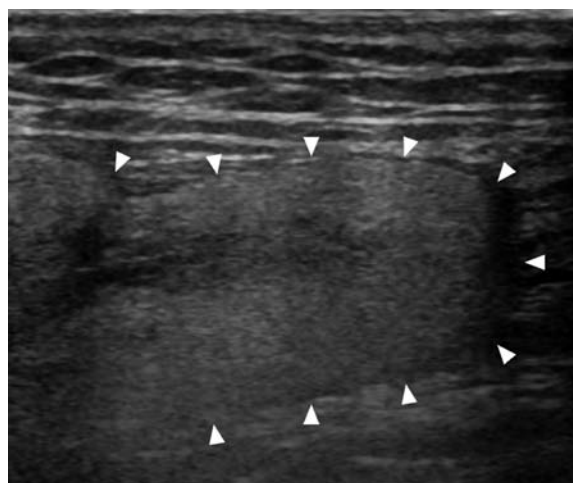


Fig. 1. An ultrasonography image showing a well-defined mass in the left inguinal region, with hyperechoic areas.

(Fig. 2).

MRI 検査 : 左鼠径部腫瘍は T1, T2 強調画像にて高信号域と低信号域が混在していた。脂肪抑制で低信号となる領域があり、一部は造影された。精索との連続性を認めなかった (Fig. 3)。

入院後経過 : 左鼠径部腫瘍は表在発生脂肪性腫瘍と考えられることから、liposarcoma の可能性は低いと判断した。術前の生検は行わず、腫瘍摘除術を施行

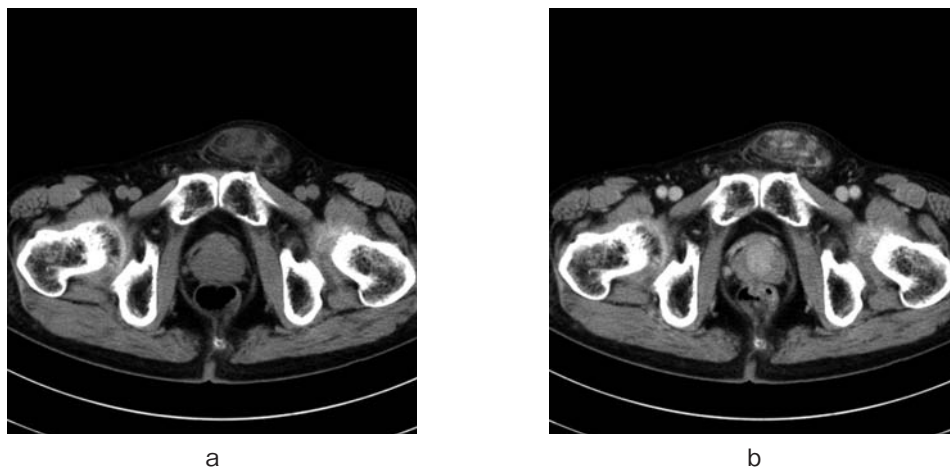


Fig. 2. a: A computed tomography scan showing a well-defined, solid mass. b: The mass is isodense compared to the surrounding adipose tissue, but it shows partial enhancement with the contrast medium.

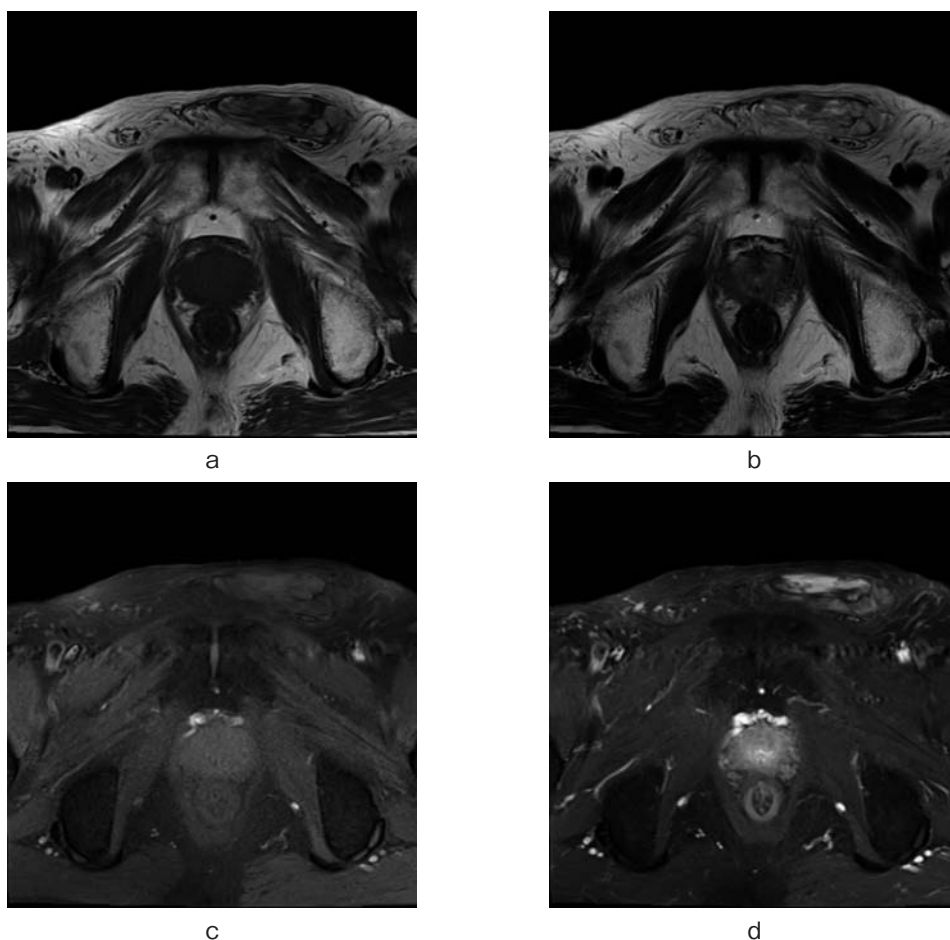


Fig. 3. a, b: T1- and T2-weighted magnetic resonance imaging scans showing that the left inguinal mass has hyperintense and hypointense areas. c, d: The mass contains suppressed areas on a fat-suppressed image, and it shows partial enhancement.

した。

術中所見：左鼠径部斜切開にて皮下組織を展開，腫瘤を露出した。腫瘤は外腹斜筋腱膜の腹側に位置し，周囲組織との癒着を認めなかった。腫瘤と精索との連続性は認められず，摘除された。

切除標本：摘除標本は大きさ $8.5 \times 4.4 \times 3.2$ cm，重量 62.0 g であった。表面平滑，断面では黄色と白色の結節が混在していた (Fig. 4)。

病理組織：成熟脂肪細胞に紡錘形細胞の増殖を伴い，膠原線維，粘液成分が混在していた。核分裂像や



Fig. 4. The excised tumor is smoothly shaped and containing yellow and white nodes.

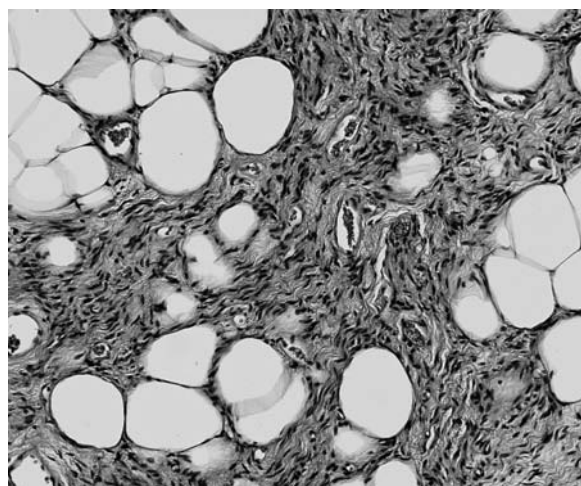


Fig. 5. Hematoxylin and eosin staining. On histopathological examination, proliferation of mature fat cells and spindle cells can be observed. Collagen fibers and mucus are mixed. Nuclear division, atypical cells, and lipoblasts are not observed.

異型細胞および、脂肪芽細胞を認めなかった (Fig. 5)。以上の所見より、spindle cell lipoma と診断した。

術後経過: 術後7カ月を経過した現在、再発を認めていない。

考 察

Spindle cell lipoma は、1975年に Ezinger らによって提唱された脂肪腫の一亜型で³⁾、全脂肪性腫瘍のうち1.5%と比較的珍しい腫瘍である²⁾。45~70歳の男性に多く (平均56歳)、肩や後頸部に好発し (94%)、体幹には少ない (5.3%) と報告されている²⁾。鼠径部に発生した spindle cell lipoma は検索した限り、本邦で5例目の報告であった⁴⁻⁷⁾。

本邦における他の報告では⁴⁻⁷⁾、年齢51歳、10代前半、55歳、60歳、4例すべてが男性であった。また、

右2例、左2例であり、大きさは3.3~40 cm と報告されている。すべての症例で摘除された。

MRI における spindle cell lipoma の特徴として、①境界明瞭な皮下腫瘍、②T1, T2 強調画像でともに高信号域を含む、③脂肪抑制で低信号となる領域を含む、④脂肪成分に混在してT1, T2 強調画像で低信号域を含む、⑤非脂肪成分のみ造影されることが挙げられる⁸⁾。ただし、②~⑤については liposarcoma でも同様の所見が見られ、両者の鑑別とはなりにくい。また、隔壁が薄い場合や非脂肪成分からなる結節様構造を認めない場合はほとんどが良性とされているが、脂肪腫32例中7例 (18.9%) で厚い隔壁が、3例 (9.4%) で結節様もしくは斑状の非脂肪成分を認めたと報告されている⁹⁾。本症例では隔壁は認めないが非脂肪成分を含み、腫瘍の質的評価からは術前診断が困難であった。

Spindle cell lipoma は表在発生が多く、32例中31例 (96.8%) で腫瘍は皮下に位置していたと報告されている^{10,11)}。一方、liposarcoma は深部結合組織から発生し通常、皮下組織には発生しない¹²⁾。しかし、鼠径部に発生した脂肪性腫瘍の中に、精索に発生した liposarcoma の報告があり、留意する必要がある¹³⁾。両者の発生部位が異なる原因については、検索した限り不明であった。本症例では術前診断、術中所見から腫瘍は皮下に位置し、精索との連続性を認めないことから、liposarcoma の可能性は低いと判断し、術前生検を施行しなかった。実際、鼠径部に発生した spindle cell lipoma の報告において、術前生検は施行されていない⁴⁻⁷⁾。以上より、鼠径部皮下組織における脂肪性腫瘍は、発生部位から腫瘍の鑑別が可能と考えられた。

結 語

鼠径部に発生した spindle cell lipoma の1例を経験したので報告した。MRI での術前診断は困難であるが、発生部位から病理診断の推察は可能と考えられた。

文 献

- 1) Kirwadi A, Abdul-Halim R, Fernando M, et al.: MR imaging features of spindle cell lipoma. *Skeletal Radiol* **43**: 191-196, 2014
- 2) Fletcher CD and Martin-Bates E: Spindle cell lipoma: a clinicopathological study with some original observations. *Histopathology* **11**: 803-817, 1987
- 3) Ezinger FM and Harvey DA: Spindle cell lipoma. *Cancer* **36**: 1852-1859, 1975
- 4) 石井利昌, 前田壽哉, 安彦 篤, ほか: 下腹部から陰部に発生した巨大 Spindle cell lipoma の1例. *日臨外会誌* **62**: 244-248, 2001
- 5) 須山淳平, 清野哲孝, 高谷 周, ほか: 若年者の

- 鼠径部に生じた Spindle cell lipoma の 1 症例. 日
医放線会秋季臨床抄集 **43** : S474-S475, 2008
- 6) 矢野晶大, 渡邊 徹, 鎌田成芳, ほか : 鼠径陰囊
部 Spindle cell lipoma の 1 例. 泌尿器外科 **16** :
445, 2003
- 7) Ide H, Nakagawa T, Muto S, et al. : Spindle cell
lipoma of the spermatic cord. Int J Urol **14** : 1046-
1047, 2007
- 8) ニンデル・マーギット, 鳥居秀嗣, 松川 中 :
Spindle cell lipoma. 皮膚診療 **28** : 435-438, 2006
- 9) Ohguri T, Aoki T, Hisaoka M, et al. : Differential
diagnosis of benign peripheral lipoma from well-
differentiated liposarcoma on MR imaging: is com-
parison of margins and internal characteristics useful ?
Am J Roentgenol **180** : 1689-1694, 2003
- 10) Choi JW, Kim HJ, Kim J, et al. : Spindle cell lipoma of
the head and neck: CT and MRI imaging findings.
Neuroradiology **55** : 101-106, 2013
- 11) Kirwadi A, Abdul-Halim R, Fernando M, et al. : MR
imaging features of spindle cell lipoma. Skeletal
Radiol **43** : 191-196, 2014
- 12) Buehler D, Marburger TB, Billings SD, et al. : Primary
subcutaneous myxoid liposarcoma : a clinicopathologic
review of three cases with molecular confirmation and
discussion of the differential diagnosis. J Cutan
Pathol **41** : 907-915, 2014
- 13) Kryvenko ON, Rosenberg AE, Jorda M, et al. :
Dedifferentiated liposarcoma of the spermatic cord : a
series of 42 cases. Am J Surg Pathol **39** : 1219-1225,
2015

(Received on August 21, 2015)

(Accepted on December 1, 2015)